

$$\vec{\Pi}(r, \theta, \varphi, t) = \frac{1}{16\pi^2 \epsilon_0 c^3} \cdot \frac{\sin^2 \theta}{r^2} \cdot \ddot{p}\left(t - \frac{|r|}{c}\right) \vec{e}_r$$

$$F(\theta, \varphi) = \frac{|\vec{\Pi}(r, \theta, \varphi, t)|}{|\vec{\Pi}_{\max}(r_{\max}, \theta_{\max}, \varphi_{\max}, t)|} = \sin^2 \theta$$

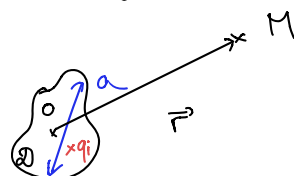
$$\vec{B}(\vec{r}, t) = \frac{\mu_0}{4\pi} \cdot \left(\frac{\ddot{p}\left(t - \frac{|\vec{r}|}{c}\right)}{c \cdot |\vec{r}|} + \frac{\dot{p}\left(t - \frac{|\vec{r}|}{c}\right)}{|\vec{r}|^2} \right) \vec{e}_\varphi$$

$$\vec{E}(\vec{r}, t) = \frac{1}{4\pi \epsilon_0} \left[2 \cos \theta \left(\frac{p\left(t - \frac{|\vec{r}|}{c}\right)}{r^3} + \frac{\dot{p}\left(t - \frac{|\vec{r}|}{c}\right)}{r^2 c} \right) \vec{e}_r + \sin \theta \left(\frac{p\left(t - \frac{|\vec{r}|}{c}\right)}{r^3} + \frac{\dot{p}\left(t - \frac{|\vec{r}|}{c}\right)}{r^2 c} + \frac{\ddot{p}\left(t - \frac{|\vec{r}|}{c}\right)}{rc^2} \right) \vec{e}_\theta \right]$$

Rayonnement dipolaire

- Résumé :
- charge accélérée \rightarrow énergie rayonnée sous forme d'un champ EM
 - remise en question du modèle planétaire de Bohr, incompatible avec la stabilité de la matière
 - champ rayonné : retard, anisotropie, décaissement $\propto \frac{1}{r^2}$, $|\vec{H}| \propto \frac{1}{r^2}$ et conservation de l'énergie, $P \propto \omega^4$, structure locale \vec{E} d'onde plane
 - antennes de communication, résonance, antenne demi-onde
 - Modèle de Lorentz : pas de bas, $\omega_0 \approx 10^{16} \text{ Hz}$

Champ rayonné par des charges accélérées



Hypothèses (i) charges non relativistes \rightarrow l'expression non relativiste du potentiel vectoriel est valable

$$|\vec{v}_i| \ll c \rightarrow \vec{A}(\vec{r}, t) = \frac{\mu_0}{4\pi} \sum_{i \in D} q_i \vec{v}_i \left(t - \frac{|\vec{r} - \vec{r}_i|}{c} \right) / |\vec{r} - \vec{r}_i| = \frac{\mu_0}{4\pi} \int_D d\vec{r}' \frac{\vec{j}(\vec{r}', t - \frac{|\vec{r} - \vec{r}'|}{c})}{|\vec{r} - \vec{r}'|}$$

(ii) retard identique pour les points de la source \rightarrow ARQS de la source

taille caract. de la source $a \ll z_c$ $\frac{\text{temps de variation des charges/constante de la source}}{\text{distance au barycentre } O}$ $\rightarrow \vec{j}(\vec{r}', t - \frac{|\vec{r} - \vec{r}'|}{c}) \approx \vec{j}(\vec{r}', t - \frac{|\vec{r}'|}{c})$ $\rightarrow \vec{A}(\vec{r}, t) = \frac{\mu_0}{4\pi} \sum_{i \in D} q_i \vec{v}_i \left(t - \frac{|\vec{r}'|}{c} \right)$

(iii) hypothèse dipolaire \rightarrow zone de champ lointain

taille caract. de la source $a \ll |\vec{r}| = OM$ $\rightarrow \vec{A}(\vec{r}, t) = \frac{\mu_0}{4\pi} \sum_{i \in D} q_i \vec{v}_i \left(t - \frac{|\vec{r} - \vec{r}_i|}{c} \right)$

Le moment dipolaire n'était $\vec{p} = \int_D d^3\vec{r}' \rho(\vec{r}') \cdot \vec{r}' = \sum_{i \in D} q_i \vec{r}_i$

$$\hookrightarrow \vec{A}(\vec{r}, t) = \frac{\mu_0}{4\pi} \cdot \frac{\vec{p}(t - \frac{|\vec{r}'|}{c})}{|\vec{r}'|}$$

retard
 origine au barycentre
 des charges de D

Calcul de \vec{B}

On suppose que $\vec{p}(t) = p(t) \hat{e}_y$ \rightarrow vibration rectiligne. Par superposition on récupère les dipôles qui tournent en déphasant deux dipôles \rightarrow pas de perte de généralité.

Alors $\vec{B} = \vec{\nabla}_{\times} \vec{A} = \vec{\nabla}_{\times} \left(\frac{\mu_0}{4\pi} \cdot \frac{\vec{p}(t - \frac{|\vec{r}'|}{c})}{|\vec{r}'|} \cdot \hat{e}_y \right) = \frac{\mu_0}{4\pi} \vec{\nabla} \left(\frac{\vec{p}(t - \frac{|\vec{r}'|}{c})}{|\vec{r}'|} \right) \times \hat{e}_y = \frac{\mu_0}{4\pi} \left(\frac{-\ddot{p}(t - \frac{|\vec{r}'|}{c})}{c \cdot |\vec{r}'|} \frac{\vec{r}'}{|\vec{r}'|} - \dot{p}(t - \frac{|\vec{r}'|}{c}) \frac{\vec{r}'}{|\vec{r}'|^2} \right) \times \hat{e}_y$

$$\vec{B}(\vec{r}, t) = \frac{\mu_0}{4\pi} \cdot \left(\frac{\ddot{p}(t - \frac{|\vec{r}'|}{c})}{c \cdot |\vec{r}'|} + \frac{\dot{p}(t - \frac{|\vec{r}'|}{c})}{|\vec{r}'|^2} \right) \hat{e}_y \quad \times \frac{1}{r} \text{ si charges accélérées}$$

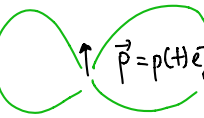
Champ électrique

En M, c'est une zone de courant nul par hypothèse $\rightarrow \vec{j} = \vec{0}$
 $\rightarrow \frac{\partial \vec{E}}{\partial t} = c^2 \vec{\nabla} \times \vec{B}$

$$\rightarrow \vec{E}(M, t) = \vec{E}(M, 0) + \int_0^t dt' \vec{\nabla}_x \vec{B}(\vec{r}, t') \quad \text{si on a } \vec{B}, \text{ on a } \vec{E} \text{ en intégrant eq. Maxwell}$$

attention, $\vec{\nabla}_x \vec{e}_\theta \neq 0$ dépend de x, y, z $\Delta \vec{e}_\theta ?$

$$\vec{E} = \frac{1}{4\pi\epsilon_0} \left[2 \cos \theta \left(\frac{\vec{p}(t)}{r^3} + \frac{\dot{\vec{p}}(t)}{r^2 c} \right) + \frac{Q_{tot}}{r^2} \right] \vec{e}_r + \frac{\sin \theta}{4\pi\epsilon_0} \left[\frac{\vec{p}(t)}{r^3} + \frac{\dot{\vec{p}}(t)}{r^2 c} + \frac{\ddot{\vec{p}}(t)}{r c^2} \right] \vec{e}_\theta$$

Commentaires : 

$\theta = \frac{\pi}{2} \rightarrow$ le champ est polarisé selon \vec{e}_θ
 ie rectilignement et $\parallel \vec{p}$ sur le plan horizontal.

• Zone de champ proche $a \ll c_2 r \ll c_2$

c'est la limite quasi-stationnaire,
 plus de retard

$$\begin{cases} \vec{B}(M, t) = \frac{\mu_0}{4\pi} \frac{\vec{p}(t) \times \vec{r}}{|r|^3} \\ \vec{E}(M, t) = \frac{3}{4\pi\epsilon_0} \frac{(\vec{p}(t) \cdot \vec{e}_r) \cdot \vec{e}_r - \vec{p}(t)}{|r|^3} \end{cases} \quad \text{pas de retard, ce sont les champs dans la limite quasi-stationnaire}$$

• Zone de champ lointain $a \ll c_2 \ll r$

la vitesse de propagation est
 primordiale

$$\begin{cases} \vec{B}(M, t) = \frac{\mu_0}{4\pi} \frac{\ddot{\vec{p}}(t - \frac{|r|}{c}) \sin \theta}{c r} \vec{e}_r \\ \vec{E}(M, t) = \frac{\ddot{\vec{p}}(t - \frac{|r|}{c}) \cdot \sin \theta}{4\pi\epsilon_0 c^2 r} \vec{e}_\theta \end{cases} \quad \text{éq}$$

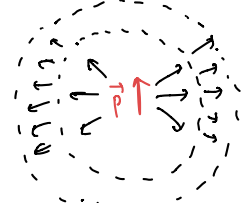
Commentaires : (i) décroissance $\frac{1}{r}$ plus lente que le $\frac{1}{r^2}$ statique $\rightarrow |\vec{E}| \propto \frac{1}{r^2}$, conservation de l'énergie

(ii) anisotropie : rayonnement nul sur l'axe de \vec{p}
 maximal dans le plan $\perp \vec{p}$

(iii) propagation à vitesse c suivant \vec{e}_r

(iv) structure locale d'onde plane

(v) à longue distance, c'est l'accélération $\ddot{\vec{p}}$ qui compte



Objectif énergétique

En champ lointain,

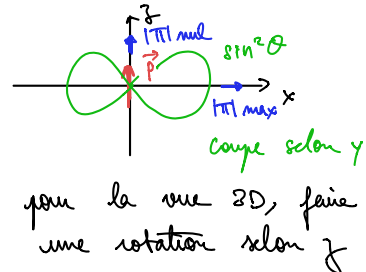
$$\vec{\Pi} = \frac{\mu_0 \ddot{p}(t - \frac{r}{c})}{(4\pi)^2 \cdot c \cdot r^2} \sin^2 \theta \hat{e}_r$$

- propagation selon \hat{e}_r
- $\sin^2 \theta \rightarrow$ anisotropie
- $| \vec{\Pi} | \propto \frac{1}{r^2} \rightarrow$ conservation de l'énergie

- Diagramme de rayonnement : on trace $\vec{r} = |\vec{\Pi}(r, t)| \hat{e}_r$

$$\text{in r et t fixés} \quad \vec{r} = \vec{r}_{\max} = \sin^2 \theta \hat{e}_r$$

(θ, φ varient)



pour la vue 2D, faire une rotation selon \hat{z}

- puissance rayonnée sur une sphère :

$$P = \int_0^{2\pi} d\varphi \int_0^\pi d\theta \sin \theta \cdot r^2 |\vec{\Pi}| = \frac{\mu_0 \cdot \ddot{p}^2(t - \frac{r}{c})}{6\pi c}$$

$\ddot{p}^2(t)$
indép de r

le ciel est bleu

- Pour un dipôle de Hertz : $P(t) = q \cdot a \cdot \cos(\omega t)$

$$\rightarrow \langle P \rangle = \frac{1}{T} \int_0^T P(t) dt = \frac{\mu_0 a^2 q^2}{12\pi} \omega^4$$

Rayonnement d'antenne

- Pour une antenne parcourue par un courant $I(t)$, le champ rayonné est obtenu en faisant

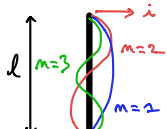
$$\ddot{p}(t) = \dot{I}(t) \cdot l$$

$P \propto \ddot{p}^2$ donc il faut augmenter l / diminuer z ,

longueur de l'antenne on risque de sortir de l'ARBS des sources

- Pour une antenne hors ARBS, où $l \gg c_2$, on la découpe en sous antennes vérifiant l'ARBS et on utilise la superposition.

↳ $\vec{E}(r, t) = \dots + \hat{f}(t)$ → TF de la répartition de courant



CL : $i=0$ aux extrémités

condition de résonance :

$l = m \frac{\lambda}{2}$, $m \in \mathbb{N}$: les extrémités de l'antenne sont des nœuds

"antennes demi-onde"

- Émission dirigée : on met des antennes :

déphasage bien choisi → émission directe, on peut jouer sur les lobes du diagramme de rayonnement

Rayonnement de la matière

Modèle de l'électron électriquement lié :

Hyp : (i) $\lambda \gg a$ $\rightarrow \vec{E}(r, t)$ est uniforme sur l'atome
 à du champ \vec{E} rayon atome

(ii) $M_{\text{noyau}} \gg m_e$ \rightarrow noyau immobile

(iii) $N_e \ll c$ \rightarrow électrons non relativistes $\rightarrow \vec{F}_{\text{Coriolis}} = q(\vec{E} + \vec{\omega} \times \vec{v})$

(iv) répartition sphérique des $z.e^-$ \rightarrow th. Gauss : $\vec{F}_{\text{noyau}, e} = -\vec{F}_{e/\text{noyau}} = -ze \frac{\vec{r}}{3\varepsilon} \cdot \vec{N}P = \frac{(ze)^2}{4\pi\varepsilon_0 a^3} \vec{P}_N$

(v) force de frottement $\vec{f} = -\frac{m_e}{2} \vec{v}$: modélise les collisions qui réduisent énergétiquement le moment dipolaire et donc une perte d'énergie / déphase \vec{p} par rapport à \vec{E} (peut venir d'un PFD probabiliste à la Durde).
 (vi) milieu abstrait : les interactions dipolaires sont faibles $\rightarrow \vec{E}_{\text{local}} = \vec{E}_{\text{ext}}$.

$$\text{PFD : } z m_e \ddot{\vec{r}} = -\frac{(ze)^2}{4\pi\varepsilon_0 a^3} \vec{r} - ze \vec{E}_{\text{ext}} - \frac{z m_e}{2} \dot{\vec{r}}$$

On introduit le moment dipolaire $\vec{P} = z.e.(-\vec{r})$

$$\ddot{\vec{P}} + \frac{1}{2} \dot{\vec{P}} + \omega_0^2 \vec{P} = -\frac{ze^2}{m_e} \vec{E}_{\text{ext}} (+)$$

amortissement rappel harmonique forçage

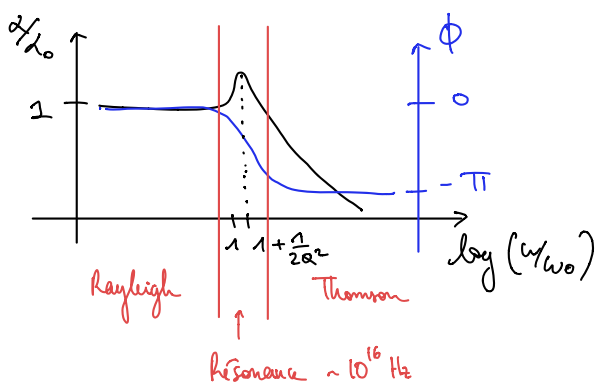
$$\text{ODG : } \omega_0 = 10^{16} \text{ rad/s, } Q \approx \omega_0 \cdot z \approx 10^8$$

$$\omega_0^2 = \frac{ze^2}{4\pi\varepsilon_0 a^3 m_e}, \quad z$$

pulsion propre

temps d'amortissement / rebond

• En RSF à la pulsation ω : $\vec{P}_w = \frac{ze^2}{\omega_0^2 - \omega^2 + i\omega} \vec{E}_w = \frac{\alpha_0}{1 - x^2 + \frac{i\omega}{\omega_0}} \vec{E}_w$ $\left\{ \begin{array}{l} \alpha_0 = \frac{ze^2}{m_e \omega_0^2} = 4\pi \alpha^3 \\ x = \frac{\omega}{\omega_0} \end{array} \right.$



fitre passe bas du 2nd ordre

polarisabilité atomique

avec $\vec{p} = \epsilon_0 \alpha \vec{E}$

$$d = f \cdot \frac{ze^2}{m_e \epsilon_0} \frac{1}{\omega_0^2 - \omega^2 + i\frac{\omega}{2}}$$

force de l'oscillateur (ad-hoc)

- $\omega \ll \omega_0$: régime de Rayleigh, $\alpha \approx \alpha_0$ polarisabilité statique, oscillation de \vec{p} en phase avec \vec{E}_{ext}
- $\omega \approx \omega_r = \omega_0 \left(1 + \frac{1}{2\alpha_0}\right) \approx \omega_0$ car $Q \gg 1$. Ex: $Q \sim 10^8$ pour le caesium. L'amplitude de $|\vec{d}|$ est max.
- $\omega \gg \omega_0$: régime de Thomson. $|\vec{d}|$ décroît en $\frac{1}{\omega^2}$. oscillation en opposition de phase

NB: Dans le modèle de Lorentz, la force dissipative diminue la puissance P_{dissip} $\propto \vec{f} \cdot \vec{v} \propto \vec{v}^2 \propto \omega^2$ alors que la puissance rayonnée est en ω^4 . En fait, pour $t \geq \frac{1}{\omega_0}$, $P_{\text{rayonnement}} \ll P_{\text{dissip}}$. En effet, comparer

NB : en électromagnétisme classique, le mouvement d'un électron est affecté par sa propre émission électromagnétique. On décrit cet effet par l'équation de Abraham-Lorentz.

$$\ddot{\vec{r}} - \frac{e}{3} \frac{r_0}{c} \ddot{\vec{r}} = \frac{e}{m} (\vec{E} + \vec{v} \times \vec{B})$$

amortissement

avec $r_0 = \frac{qe^2}{4\pi\epsilon_0} \cdot \frac{1}{m_e c^2} \approx 2.8 \cdot 10^{-15} \text{ m}$

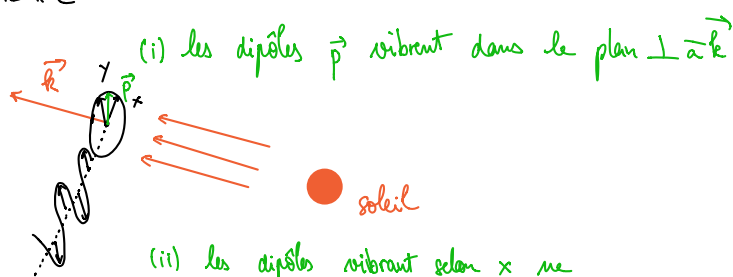
le rayon classique de l'électron

Cas du ciel, lumière visible

- $\omega_{\text{visible}} \approx 10^{14} \text{ Hz} \ll \omega_0 \approx 10^{16} \text{ Hz} \rightarrow$ les particules du ciel sont dans le régime de Rayleigh

- $P_{\text{Rayleigh}} = \frac{\mu_0 |P(\omega)|^2 \cdot \omega^4}{12\pi c} = \mu_0 \cdot |d(\omega)|^2 \cdot E \omega^2 \cdot \omega^4 = \frac{\mu_0 \alpha_0^2 E \omega^2 \omega^4}{12\pi c} \propto \omega^4$

- couleur bleue du ciel
- couleur rouge du coucher de soleil
- la lumière diffusée dans le ciel est polarisée



(ii) les dipôles vibreront selon x ne rayonnent pas vers l'observateur

(iii) les dipôles du plan rayonnent E selon \vec{E}
→ la polarisation est rectiligne selon E

(iv) L'observateur qui regarde perpendiculairement à la propagation voit une lumière polarisée

Compléments

- Pour les grosses particules, $a \sim \lambda$, le modèle de Lorentz ne marche plus, c'est la diffusion de Mie.